

# بررسی خواص فولاد زنگنزن کروفر تولید شده به روش آلیاژسازی مکانیکی برای استفاده در صفحات اتصال دهنده پیل‌های سوختی اکسید جامد

محمد رضوانی<sup>\*</sup>، کیوان رئیسی و فتح الله کریم‌زاده

دانشکده مهندسی مواد، دانشگاه صنعتی اصفهان

(دریافت مقاله: ۱۳۹۴/۳/۱۶ - دریافت نسخه نهایی: ۱۳۹۳/۱/۱۵)

چکیده - در این پژوهش به برسی خواص فولاد زنگنزن کروفر تولید شده روش آلازاسازی مکانیکی که به عنوان صفحات اتصال دهنده اکسید جامد استفاده نموده شود، پرداخته شده است. ان آلاز پس از مخلوط شدن یودرهای مورد نظر و آلازاسازی به مدت ۰۰ دققه در مدت ۰۰ دققه استفاده شد. برای رسیدن به خواص مطلوب شامل مقاومت الکتریکی و مقاومت به اکسید داسون بالا مگاپاسکال در مدت ۰۰ دققه افزایش نموده است. در مدت ۰۰ دققه از نمونه روش رسوب‌دهی الکتریکی چگالی آن آمپر بر مربع در مدت ۰۰ دققه کیلایت داده شد. برای اجتناب از نمونه‌ای چگالی بالا از روش سنتروکومن جرقه-یالاسما در دمای ۰۰ درجه گراد و با اعمال تنفس مگاپاسکال در مدت ۰۰ دققه استفاده شد. برای رسیدن به خواص مطلوب شامل مقاومت الکتریکی و مقاومت به اکسید داسون بالا تعدادی از نمونه روش رسوب‌دهی الکتریکی چگالی آن آمپر بر مربع در مدت ۰۰ دققه کیلایت داده شدند. در ادامه با توجه به خواص که صفحه اتصال دهنده در اکسید داشته باشد، مقاومت به اکسید داسون و مقاومت الکتریکی دار و بدون یوشش مورد بررسی قرار گرفت. رفتار اکسید داسون در مدت زمان اکسید داسون ۰۰ ساعت در هوا در دمای ۰۰ درجه گردانده شد. دریخواص روش رسوب‌دهی از نکردن و نمودار آن به صورت سه‌بعدی بدین معنی است که در محدوده ۰٪ تا ۱۰۰٪ از نمونه متناظر بدون یوشش خود رسید. آلاز تولید شده روش آلازاسازی مکانیکی در مقایسه با آلاز تجاری شده روش رسوب‌دهی اکسید داسون مشابه را پس از ۰۰ ساعت اکسید داسون از خود نشان داد اما نمونه تولید شده روش آلازاسازی مکانیکی مقاومت الکتریکی به مراتب کمی از نمونه تجاری خود دارد.

واژگان کلیدی: اکسید جامد، صفحات اتصال دهنده، آلازاسازی مکانیکی، اکسید داسون، مقاومت سطح و ژره

## Evaluation of Properties of Crofer Stainless Steel Produced by Mechanical Alloying for Using as Interconnect Plates of Solid Oxide Fuel Cells

M. Rezvani\*, K. Raeissi and F.L. Karimzadeh

Department of Materials Engineering, Isfahan University of Technology, Isfahan 84156-83111, Iran.

\* مسئول مکاتبات پست الکترونیکی: mohammadrezvani1368@gmail.com

**Abstract:** This study has examined the properties of Crofer 22APU stainless steel produced by mechanical alloying for using as interconnect plates in solid oxide fuel cells. This alloy was produced by mixing the source powders and mechanical alloying for 40 hours. For creating a sample with high density, spark-plasma sintering was applied at 1100 °C and 50 Mpa stress for 10 minutes. To achieve the desired properties such as low electrical resistance and high oxidation resistance, a number of samples were coated by manganese-cobalt using electrodeposition technique at current density of 150 mA/cm<sup>2</sup> for 40 minutes. Then, considering the properties required for an interconnect plate of solid oxide fuel cell, oxidation resistance and electrical resistance of the coated and uncoated samples were investigated. Oxidation behavior of the coated and uncoated samples, after 100 hours oxidation in air at 800°C did not follow any rule and its curve was a sinus type. The electrical resistance of uncoated samples was in the range of 0.1-0.2 mOhm.cm<sup>2</sup>, but the electrical resistance of the coated samples after 100 h oxidation reached to a less amount than that of the corresponding uncoated ones. The alloy produced by mechanical alloying method, compared with commercial ones produced by casting methods, showed similar oxidation behavior after 100 h oxidation, but it had a surface electrical resistance far less than its commercial ones.

**Keywords:** Solid oxide fuelcell, Interconnect plate, Crofer22APU, Mechanical alloying, Oxidation, Area specific resistance

می‌کند و باعث نزدیک شدن به خواص مورد نظر مثل افزایش مقاومت اکسیداسیون و کاهش مقاومت الکتریکی آلیاژ می‌شود. البته باید خاطر نشان کرد که این لایه اکسید اسپینلی از رشد لایه اکسیدی به طور کامل جلوگیری نخواهد کرد. به همین دلیل لازم است که از یک پوشش مناسب نظیر پوشش اسپینلی منگنز-کبالت استفاده کرد [۳-۵]. ترکیب شیمیایی فولاد زنگنزن فریتی Crofer22APU در جدول ۱ مشاهده می‌شود.

گستره دمایی برای ذوب این آلیاژ برحسب درجه سانتی گراد (۱۵۳۰-۱۵۱۰) (مذاب)- (جمد) است [۶-۸]. با در نظر گرفتن مقاومت به اکسیداسیون خوب این آلیاژها باید بالا بودن مقاومت الکتریکی پوسته اکسیدی را نیز مدنظر قرار داد. در آلیاژهایی که فقط اکسید کروم روی آنها تشکیل می‌شود، این امر باعث افزایش ضربی انبساط حرارتی و مقاومت الکتریکی می‌شود ولی استفاده از آلیاژهای مدرن و جدید مثل Crofer22APU با تشکیل اکسید منگنز-کروم بر روی اکسید کروم باعث کاهش مقاومت الکتریکی و هم‌چنین ضربی انبساط حرارتی می‌شود [۹]. به علت وجود عناصر زیاد در این آلیاژ و متفاوت بودن فشار بخار آنها نمی‌توان از روش‌های معمول ریخته‌گری برای تولید این آلیاژ استفاده کرد. تولید این آلیاژ به روش ذوب و ریخته‌گری انحصاراً توسط یک شرکت آلمانی صورت می‌پذیرد، به همین دلیل می‌توان برای تولید آن از روش آلیاژسازی مکانیکی استفاده

## ۱- مقدمه

پیلهای سوختی و سایل تبدیل انرژی هستند و انرژی شیمیایی سوخت را از طریق انجام جداگانه دو نیم واکنش الکتروشیمیایی اکسیداسیون و احیاء، مستقیماً به جریان برق تبدیل می‌کنند [۱]. یک پیلهای سوختی از الکترود آند (در ارتباط با سوخت)، الکترولیت و الکترود کاتد (در ارتباط با اکسیدان) تشکیل شده است. در بین انواع این پیلهای می‌توان به پیلهای سوختی اکسید جامد اشاره کرد. پیلهای سوختی اکسید جامد در دمای تقریباً بالایی (حدود ۸۰۰ درجه سانتی گراد) کار می‌کنند که باعث شتاب بخشیدن به واکنش‌های الکترودی می‌شود [۲]. در پیلهای سوختی برای افزایش بازدهی در بین هر مجموعه سلول، یک صفحه اتصال دهنده قرار می‌گیرد که این صفحات به دو دسته سرامیکی و فلزی تقسیم‌بندی می‌شوند. برای کاهش دمای کاری پیلهای جای صفحات سرامیکی می‌توان از صفحات فلزی استفاده کرد که یکی از بهترین آنها فولادهای زنگنزن فریتی هستند که بهترین تطابق ضربی انبساط حرارتی را با دیگر اجزای پیلهای دارند. البته خصوصیات دیگری را که باید مد نظر قرار داد شامل مقاومت به اکسیداسیون بالا و مقاومت الکتریکی سطحی پایین است. در این بین، فولاد زنگنزن Crofer22APU به دلیل تشکیل لایه اکسیدی اسپینلی منگنز-کروم در دمای نزدیک به ۹۰۰ درجه سانتی گراد بر روی اکسید کروم، از ضخیم شدن پوسته اکسیدی جلوگیری

کبالت ( $Mn_{3}CoO_4$ ) که یک اسپینل است) هدایت الکتریکی عالی، پایداری حرارتی بالا و پایداری ساختاری بسیار خوبی دارد و هم‌چنین ضریب انبساط حرارتی آن منطبق با فولادهای زنگنزن فریتی است. اما به هر حال نفوذ کروم، آهن و اکسیژن از درون این لایه امکان پذیر است که باعث تشکیل لایه کرومیا در فصل مشترک زیر لایه/پوشش خواهد شد و در نتیجه مقاومت الکتریکی سطحی ویژه<sup>۳</sup> به مرور زمان افزایش خواهد یافت. این پوشش حفاظتی از تبخیر کروم جلوگیری خواهد کرد، اما نه به طور کامل و میزان آن به تاریخچه حرارتی و ریزساختاری آن پوشش بستگی دارد [۱۶]. ضخامت این پوشش‌ها از کمتر از یک میکرومتر تا ۲۰ میکرومتر متغیر است [۱۷]. البته پوشش‌های دیگری مثل اکسید فلزات فعال شیمیایی همانند اکسید لانتانیوم و یا پوشش‌های دولایه (پوشش اسپینلی منگنز-کبالت و اکسید فلزات فعال شیمیایی) استفاده می‌شود که پوشش اسپینلی منگنز-کبالت به دلیل مقرون به صرفه‌تر بودن بیش‌تر کاربرد دارد. به علت نفوذ داخلی یون‌های اکسیژن، پوسته اکسیدی کرومیا بازدر زیر لایه حفاظتی رشد می‌کند، اما با سرعت خیلی کم‌تر از هنگامی که آلیاژ بدون پوشش است [۱۸]. تاکنون امکان ساخت صفحات اتصال‌دهنده پیل سوختی از آلیاژ کروفربه روش آلیاژسازی مورد بررسی قرار نگرفته است. روش آلیاژسازی مکانیکی دارای مشکلاتی که روش‌های ذوب و ریخته‌گری برای تولید آلیاژ‌های پیشرفتی با آن مواجه‌اند، نیست. لذا هدف از این پژوهش، تولید نمونه حجیم از آلیاژ کروفربه روش آلیاژسازی مکانیکی و ارزیابی خواص نمونه‌های حاصل برای کاربرد در پیل سوختی اکسید جامد است.

## ۲- مواد و روش‌ها

### ۲-۱- آلیاژسازی مکانیکی

در این مرحله پودر عناصر مورد نظر برای تولید آلیاژ Crofer22APU با درصدهای معین که قبلًا در جدول ۱ اشاره شد،

کرد. یکی از مزایای این روش برای تولید این آلیاژ این است که در دمای پایین (دمای اتاق) می‌توان آن را تولید کرد. بعد از تولید آلیاژ به این روش، برای پرس کردن پودر می‌توان از پرس تک محوره، پرس ایزواستاتیک سرد و پرس در دمای بالا استفاده کرد. یکی از روش‌های پیشرفتی برای تبدیل نمونه‌های پودری به نمونه‌های با چگالی بالا، استفاده از روش سیترکردن جرقه-پلاسمای است. روش سیترکردن جرقه-پلاسمای به این صورت است که ابتدا پودر مورد نظر داخل قالب گرافیتی ریخته می‌شود و سپس جریان پالس مستقیم از درون قالب گرافیتی عبور می‌کند. به دنبال آن، جریان نیز از پودرهای داخل قالب عبور می‌کند و سپس حرارت داخل قالب ایجاد می‌شود (برخلاف پرس داغ که حرارت توسط ابزارآلات خارجی به دست می‌آید)، بنابراین سرعت حرارت دهی و سرد کردن در این روش در حدود چند دقیقه صورت می‌گیرد. این کار هم چگالی کافی ارائه می‌دهد و هم از رشد دانه‌ها جلوگیری می‌کند [۱۰]. محافظت بیش‌تر از اتصال‌دهنده می‌تواند توسط اعمال یک پوشش بر سطح انجام گیرد. پژوهش‌های اخیر بر روی ایجاد پوشش‌های محافظه‌رانا متتمرکز شده‌اند.

روش‌های بسیاری برای ایجاد پوشش بر روی فولادهای زنگنزن فریتی به کار گرفته شده‌اند. این روش‌ها شامل آبکاری الکتریکی [۱۱، ۱۲]، رسوب الکتروشیمیایی آندی [۱۳]، رسوب الکتروشیمیایی کاتدی و سمنتاسیون فشرده [۱۴، ۱۵] است. تشکیل کرومیا روی Crofer22APU باعث می‌شود که هدایت الکتریکی خوبی داشته باشد روی سطح آلیاژ اعمال می‌شود که افزایش هدایت الکتریکی لایه‌های سطحی را در پی خواهد داشت و از تبخیر اکسید کروم نیز جلوگیری خواهد کرد. تبخیر اکسید کروم به صورتی است که در دمای بالا (نزدیک ۱۰۰۰ درجه‌سانانی گراد و بالاتر)، اکسید کروم به فاز فراری مثل  $CrO_3$  که یک فاز گازی است تبدیل و از ساختار خارج می‌شود. پوشش اکسید-منگنز-

جدول ۱- ترکیب شیمیایی آلیاژ Crofer22APU (مقادیر بر حسب درصد وزنی هستند) [۲]

	Fe	Cr	Mn	Si	Cu	Al	Ti	La	C	P	S
کمینه (%) باقیمانده بیشینه (%)	۲۰/۰	۰/۳۰	-	-	-	-	۰/۰۳	۰/۰۴	-	-	-
	۲۴/۰	۰/۸۰	۰/۵۰	۰/۵۰	۰/۵۰	۰/۵۰	۰/۲۰	۰/۲۰	۰/۰۳	۰/۰۵	۰/۰۲

جدول ۲- مشخصات پودرهای مورد استفاده

پودر	خلوص (%)	اندازه ذرات (میکرومتر)	شرکت سازنده
آهن	خلوص بالا	<۱۰	مرک آلمان
کروم	+۹۹	۱۵۰	مرک آلمان
منگنز	+۹۹	۱۵۰	مرک آلمان
سیلیسیم	+۹۹	پودر ریز	مرک آلمان
آلومینیوم	+۹۹	پودر ریز	مرک آلمان
مس	+۹۹	پودر ریز	مرک آلمان
تنگستن	+۹۹	<۲۰	مرک آلمان
تیتانیم	+۹۸	پودر ریز	مرک آلمان
لانتانیوم	-	درون روغن	فلوکا

استوانهای از جنس فولاد سردکار با فشارهای ۵۶۶ و ۷۰۰ مگاپاسکال و سیتر در دماهای ۱۱۵۰ و ۱۲۰۰ درجه سانتی گراد به مدت ۱ ساعت در اتمسفر خشتشی استفاده شد. اما چون نمونه با چگالی بالایی ایجاد نشد، در نهایت از روش پرس و سیتر کردن جرقه- پلاسمای استفاده شد. در این روش، نمونهای با چگالی ۹۵ درصد در یک قالب استوانهای گرافیتی در مدت ۱۰ دقیقه تحت تنش ۵۰ مگاپاسکال در دمای ۱۱۰۰ درجه سانتی گراد به دست آمد. در ادامه برای اطمینان از تک فاز بودن قطعه فولاد حاصل شده، از الگوی پراش اشعه ایکس و نیز برای تحلیل عنصری از کوانسومتری و روش طیف‌سنجی پراش الکترونی<sup>۴</sup> استفاده شد.

با ذکر مشخصات در جدول ۲ در یک فنجان با جنس فولاد سردکار و گلولهایی از جنس فولاد بلبرینگ ریخته شد. نسبت گلولهای به پودر ۱۰:۱ انتخاب شد. گلولهای قطری برابر با ۲ سانتی متر و جرمی برابر با ۳۲ گرم داشتند. برای جلوگیری از اکسیداسیون پودرهای، تمام این پودرهای در یک گلوباس<sup>۳</sup> با اتمسفر آرگون با خلوص ۹۹/۹۹٪ به داخل فنجان اضافه شد و برای حفظ اتمسفر فنجان از یک واشر لاستیکی نیز استفاده شد. در ادامه، فنجان آماده شده در یک دستگاه آسیاب سیارهای قرار داده شد و با سرعت ۳۶۰ چرخش در دقیقه به مدت ۴۰ ساعت آلیاژسازی صورت گرفت.

## ۲-۲- پرس و سیتر کردن

بعد از تولید نمونهای با چگالی بالا که به شکل استوانهای با

برای به دست آوردن نمونهای چگال از پودر حاصل از آلیاژسازی مکانیکی، ابتدا از پرس سرد در یک قالب فلزی

**جدول ۳- مواد و مقدار مورد نیاز برای ایجاد حمام پوشش دهی [۱۹]**

غله‌ت در آب (مولار)	ماده (پودر)
۰/۱	اسید بوریک ( $H_3BO_3$ )
۰/۷	گلوکونات سدیم ( $NaC_6H_{11}O_7$ )
۰/۱	سولفات کبات ( $CoSO_4 \cdot 7H_2O$ )
۰/۵	سولفات منگنز ( $MnSO_4$ )
۰/۱	سولفات آمونیوم ( $(NH_4)_2SO_4$ )

سانتی گراد به مدت زمان‌های ۰، ۲/۵، ۵۰، ۲۵، ۷۵ و ۱۰۰ ساعت قرار گرفتند و در هر کدام از این زمان‌ها یک نمونه پوشش‌دار و یک نمونه بدون پوشش از کوره خارج شد و تغییرات وزن (افزایش وزن) حاصل از اکسیداسیون برای هر نمونه اندازه گیری شد. در پایان، نمودار اکسیداسیون نمونه‌های پوشش‌دار و بدون پوشش رسم شد و ثابت اکسیداسیون برای هر دو نوع نمونه به‌دست آمد. برای بررسی مورفولوژی سطح نمونه‌ها و ضخامت پوشش و لایه‌های اکسیدی از میکروسکوپ الکترونی روبشی و برای بررسی فازهای تشکیل شده در پوشش بعد از اکسیداسیون نیز از الگوی پراش اشعه ایکس استفاده شد.

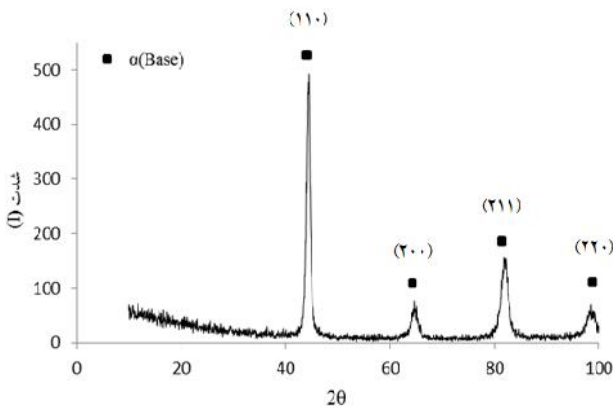
#### ۵-۲ مقاومت الکتریکی سطحی

بعد از آزمون اکسیداسیون، مقاومت الکتریکی سطحی نمونه‌های پوشش‌دار و بدون پوشش اندازه گیری و نمودار آن بر حسب زمان اکسیداسیون رسم شد. در این روش از یک منبع جریان ثابت با چگالی جریان میلی آمپر سانتی متر مربع استفاده شد و ولتاژ توسط ولت متر در هر ۳۰ دقیقه اندازه گیری شد. برای اندازه گیری مقاومت، چهار سیم پلاتینی به یک طرف نمونه‌ها که پولیش شده بودند، جوش داده شد که از طریق دو تای آنها ولتاژ اعمال شد و از دو تای دیگر جریان به عنوان پاسخ خوانده شد. با استفاده از قانون اهم،

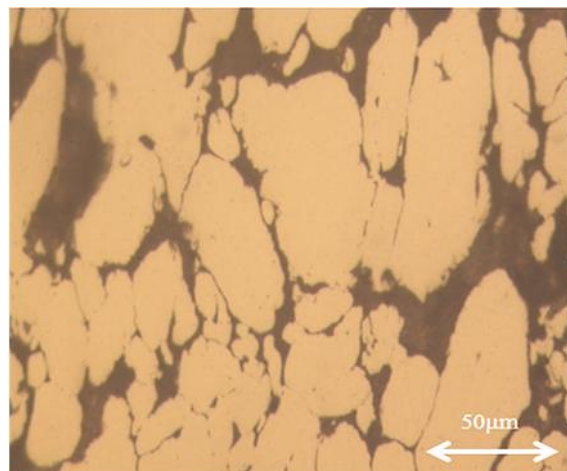
ارتفاع ۱۵ و قطر ۱۵ میلی‌متر بود، ۱۲ نمونه با برش‌های نازک توسط واپرکات به‌دست آمد. سطوح همه این نمونه‌ها با سنباده شماره ۲۴۰ ساییله شده، سپس با آب و صابون شسته شدند و ۳۵ به مدت ۲۰ دقیقه در الکل با دستگاه فراصوت در دمای درجه سانتی گراد تمیزکاری سطحی شدند. در پایان برای بالا بردن فعالیت سطح و در پی آن بالا بردن چسبندگی پوشش، نمونه‌ها به مدت ۲ دقیقه در محلولی حاوی ۷۰ درصد آب، ۲۵ درصد اسید کلریدریک و ۵ درصد اسید نیتریک قرار داده شده و سپس در حمام پوشش دهی قرار گرفتند. اجزا و مقدار مواد مورد استفاده برای تهیه حمام پوشش دهی در جدول ۳ آمده‌اند. برای تهیه این محلول، ابتدا اسید بوریک در آب دو بار تقطیر ریخته شد و به کمک همزن مغناطیسی هم زده شد. پس از انحلال کامل، گلوکونات سدیم به عنوان کیلیت کننده (که مهارکننده یون‌های فلزی است و مانع از باقی ماندن و آزاد ماندن یون‌های فلزی در آب می‌شود) به محلول اضافه شد تا به صورت کامل حل شود و سپس سولفات کبات به محلول اضافه شد و هم زدن به مدت ۳۰ دقیقه ادامه یافت. بعد از آن ۲۴ ساعت به محلول استراحت داده شد تا کیلیت شدن یون‌ها به‌طور کامل صورت گیرد. پس از آن سولفات منگنز و سولفات آمونیوم هم‌زمان به حمام اضافه شدند و سپس ۲۴ ساعت به محلول استراحت داده شد. پس از آن pH حمام توسط اسید سولفوریک رقیق در ۳ تنظیم شد. برای پوشش دهی از دو آند گرافیتی در طرفین نمونه استفاده شد که به قطب مثبت و نمونه مورد نظر به قطب منفی متصل شد و با چگالی جریان‌های ۱۵۰ و ۲۰۰ و ۲۵۰ میلی آمپر سانتی متر مربع، به مدت زمان‌های ۲۰، ۴۰، ۶۰ و ۸۰ دقیقه پوشش دهی انجام شد. در ادامه برای بررسی مورفولوژی پوشش و ضخامت پوشش از میکروسکوپ الکترونی روبشی استفاده شد.

#### ۴-۲ فرایند اکسیداسیون

۱۲ نمونه (۶ نمونه پوشش‌دار و ۶ نمونه بدون پوشش)، در کوره عملیات حرارتی با اتمسفر هوا در دمای ۸۰۰ درجه



شکل ۱- الگوی پراش اشعه ایکس از پودر آلیاژسازی مکانیکی شده به مدت ۴۰ ساعت



شکل ۲- تصویر میکروسکوپی نوری از پودر فولاد زنگنزن کروفر ۲ ساعت آنیل شده در دمای ۵۰۰ درجه سانتی گراد و سپس پرس شده با ۱۳ تن نیرو همراه با ۳/۵ درصد بایندر پلی ونیل الکل، ۱ ساعت سیتر شده در دمای ۱۲۰۰ درجه سانتی گراد در اتمسفر خشی (خلا)

حاوی تخلخل و ترک است. برای به دست آمدن نمونه‌ای ایده‌آل باید حداقل چگال شدن نمونه ۹۴ درصد باشد، این در حالی است که این نمونه، حدود ۷۰ درصد چگال شده است.

در ادامه به جای سیتر کردن معمولی از روش سیتر کردن جرقه-پلاسم استفاده شد. این نمونه در مدت زمان ۱۰ دقیقه در دمای ۱۱۰۰ درجه سانتی گراد و با تنفس ۵۰ مگاپاسکال ایجاد شده است. در این تصویر مشاهده می‌شود که نمونه

مقاومت الکتریکی سطحی نمونه‌ها به دست آمد.

### ۳- نتایج و بحث

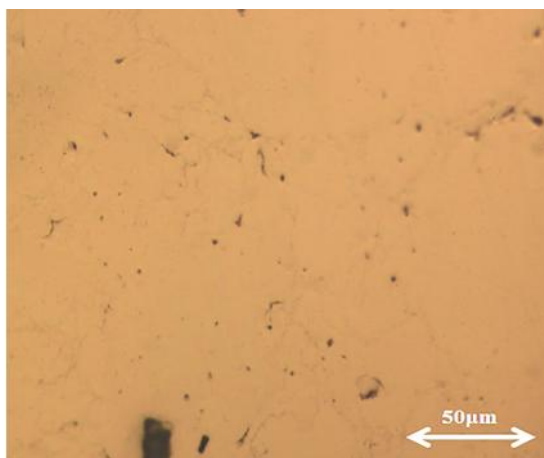
**۱- تولید آلیاژ Crofer22APU** به روش آلیاژسازی مکانیکی در این مرحله بعد از ۴۰ ساعت آلیاژسازی برای اطمینان از ایجاد فاز فریت از الگوی پراش ایکس استفاده شد که در شکل ۱ نشان داده شده است. با استفاده از نرم افزار X-Pert مشخص شد که هیچ اکسیدی در پودر وجود ندارد و فاز موجود کاملاً فریت است. با استفاده از نرم افزار Sigma Plot و X-Pert و رابطه ویلیامسون-هال (رابطه ۱) [۲۰]، اندازه کربیستالیت‌های ذرات آسیاب شده در حدود ۳۵ نانومتر تخمین زده شد.

$$\beta \cos \theta = \frac{0.9\lambda}{d} + 2A\varepsilon \sin \theta \quad (1)$$

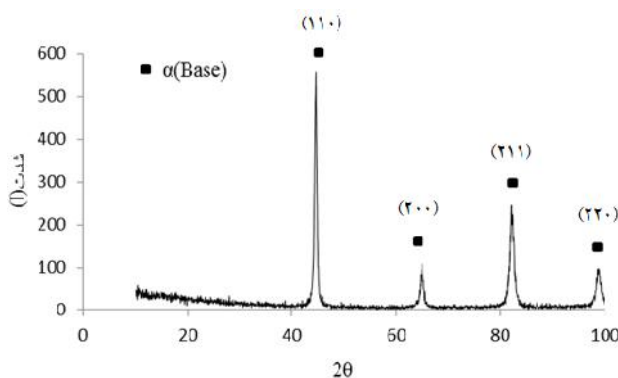
در این رابطه، طول موج اشعه ایکس، d اندازه دانه، A ثابت (معمولًاً A=1)، پهنای پیک در نیمه ارتفاع آن (بر حسب رادیان) و زاویه برآگ است.

### ۲- پرس و سیتر کردن

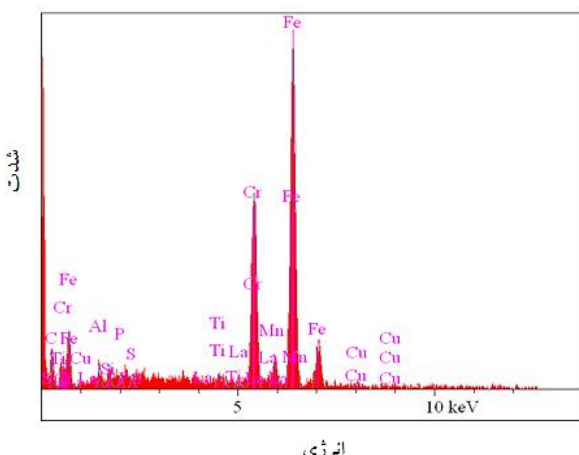
پودر فولاد زنگنزن فریتی خاصیت پرس پذیری بسیار پائینی دارد، به همین دلیل علیرغم به کار بردن شرایط مختلف پرس و سیتر، پودرها پرس نشده، به صورت لایه لایه از یکدیگر جدا شدند. برای پرس پذیری بهتر از بایندر پلی ونیل الکل<sup>۵</sup> با ترکیب شیمیایی C<sub>2</sub>H<sub>4</sub>O استفاده شد. این ماده در دمای حدود ۳۰۰ درجه سانتی گراد تبخیر می‌شود و به همین دلیل پس از سیتر کردن در نمونه باقی نماند اما با خارج شدن از ساختار باعث ایجاد تخلخل می‌شود. بهترین نتیجه با آنیل کردن پودر به مدت ۲ ساعت در دمای ۵۰۰ درجه سانتی گراد و سپس پرس کردن همراه با ۳/۵ درصد بایندر و با نیروی ۱۳ تن (در قالبی با جنس فولاد سردکار و قطر ۱۵ میلی‌متر) و سپس سیتر کردن به مدت ۱ ساعت در خلا با فشار ۱۰<sup>-۳</sup> Torr به دست آمد. تصویر میکروسکوپی نوری نمونه حاصل در شکل ۲ نشان داده شده است. در این تصویر مشاهده می‌شود که نمونه



شکل ۳- تصویر میکروسکوپی نوری از نمونه سیترشدۀ با جرقه-پلاسما در دمای ۱۱۰۰ درجه سانتی گراد در مدت زمان ۱۰ دقیقه و با تنش ۵۰ مگاپاسکال



شکل ۴- الگوی پراش اشعه ایکس از نمونه SPS شده در دمای ۱۱۰۰ درجه سانتی گراد در مدت زمان ۱۰ دقیقه و با تنش ۵۰ مگاپاسکال



شکل ۵- الگوی طیفسنجی پراش الکترونی از نمونه آلیاژی Crofer22APU بعد از عملیات پرس و سیتر شده (تحلیل پنجره‌ای)

شد که تصویر میکروسکوپی آن در شکل ۳ آمده است. این روش ایده‌آل بوده و برای سیتر کردن نمونه‌های پودری به طور هم‌زمان از دما، فشار و میدان الکترومغناطیسی استفاده می‌کند. سیتر شدن این نمونه‌های پودری بسیار ترد در زمان‌های کوتاه و تنش‌های پایین و دماهای کم‌تر از دمای سیتر معمولی، فقط حاصل پلاسمایی است که بین ذرات پودر در حین اعمال یک پالس جریان مستقیم بین ذرات ایجاد می‌شود [۱۰]. این روش نمونه‌هایی با چگالی حدود ۹۵ درصد که مطلوب است، ایجاد کرده است.

برای مطمئن شدن از اینکه در حین عملیات پرس و سیتر کردن، پودر دچار اکسیداسیون نشده است، الگوی پراش اشعه ایکس نمونه حاصل به دست آمد (شکل ۴). چنانچه از این الگو مشخص است، نشانه‌ای از وجود پیک‌های اکسید نمایان است.

بعد از پرس شدن پودر، برای مشخص شدن اینکه آیا درصد عناصر در آلیاژ تولید شده با مقادیر مورد نظر (جدول ۱) تطابق دارد، آزمون کوانتمتری (جدول ۴) روی نمونه انجام شد.

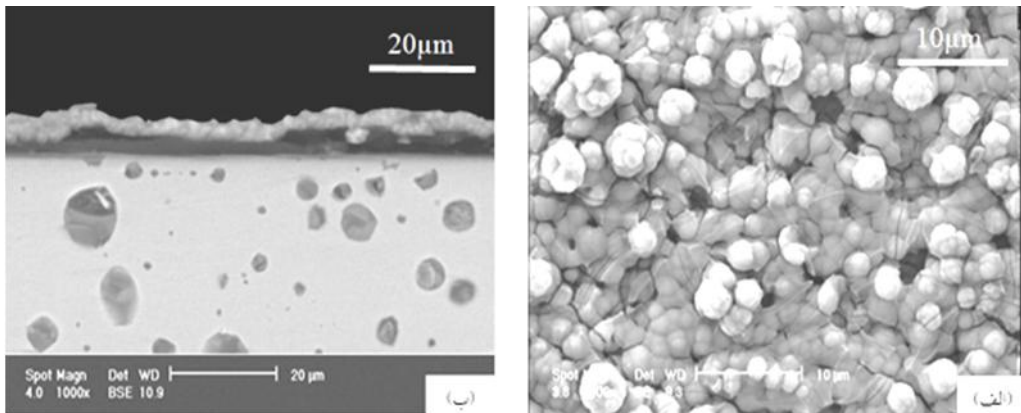
به دلیل اینکه عنصر لانتانیوم در دسته بنده فولادهای فریتی برای نرم افزار دستگاه کوانتمتری تعریف نشده بود، برای اطمینان از وجود این عنصر در آلیاژ تولید شده از تکنیک طیفسنجی پراش الکترونی استفاده شد که نتایج آن در شکل ۵ نشان داده شده است. همان‌طوری که ملاحظه می‌شود، مقدار لانتانیوم با احتساب ناخالصی‌ها، حدود ۰/۲ درصد تخمین زده می‌شود. هم‌چنین مطابق با جدول ۴، بقیه عناصر آلیاژ در رنج مورد نظر (جدول ۱) هستند. علت وجود پیک کربن در تحلیل طیفسنجی پراش الکترونی شاید به دلیل نفوذ کربن از قالب گرافیتی به داخل نمونه در مرحله پرس با روش سیتر کردن جرقه-پلاسما باشد.

### ۳-۳- عملیات پوشش دهنی

همان‌طور که قبلاً گفته شد، یکی از بهترین پوشش‌ها برای صفحات اتصال‌دهنده در پیل‌های سوختی اکسید جامد پوشش

جدول ۴- درصد وزنی عناصر موجود در آلیاژ Crofer22APU به دست آمده توسط آزمون کوانتمتری

	Fe	Cr	Mn	Si	Al	Cu	Ti	C	P	S
درصد وزنی	۷۳/۹۵	۲۳/۴۶	۰/۶۵	۰/۵۹۵	۰/۴۸۷	۰/۴۹	۰/۲۳۷	۰/۰۰۰۱	۰/۰۰۸۳	۰/۰۰۴۷



شکل ۶- تصویر میکروسکوپی الکترونی روبشی از نمونه پوشش داده شده با چگالی جریان ۱۵۰ میلی آمپر بر سانتی متر مربع به مدت ۲۰ دقیقه: (الف) سطح پوشش و (ب) سطح مقطع پوشش

جدول ۵- درصد اتمی عناصر منگنز و کبالت به دست آمده توسط روش طیف‌سنجی پراش الکترونی در پوشش‌های اعمال شده با چگالی جریان‌های ۱۵۰، ۲۰۰ و ۲۵۰ میلی آمپر بر سانتی متر مربع

i(mA/cm <sup>2</sup> )	Mn	Co
۱۵۰	۴۰	۶۰
۲۰۰	۴۸	۵۲
۲۵۰	۱۰	۹۰

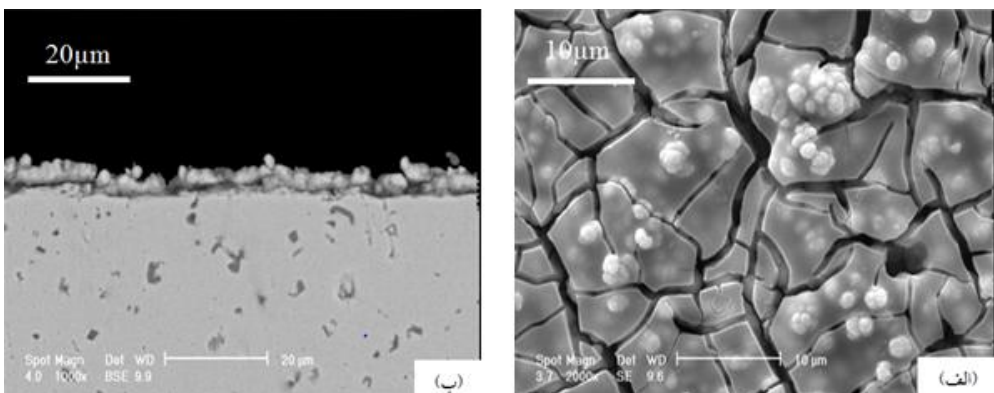
۱۵۰ میلی آمپر بر سانتی متر مربع را نشان می‌دهد. مشخص است که پوشش، دارای تخلخل و ترک (شکل ۶-الف) است که این از مشخصه این نوع از پوشش‌ها است. ضخامت پوشش به صورت میانگین حدود ۸ میکرومتر است (شکل ۶-ب). در ادامه، نمونه‌ها با چگالی جریان ۲۰۰ میلی آمپر بر سانتی متر مربع نیز پوشش داده شدند. با توجه به شکل ۷-الف مشخص است که پوشش دارای تخلخل و ترک بیشتری نسبت به چگالی جریان ۱۵۰ میلی آمپر بر سانتی متر مربع (شکل ۶-الف) است. ضخامت پوشش به صورت میانگین حدود ۱۰ میکرومتر (شکل ۷-ب)

اسپینلی منگنز-کبالت است که به روش رسوب دهی الکتریکی<sup>۶</sup> قابل اعمال است [۱۹]. پس از تولید فولاد زنگنزن فریتی Crofer22APU، لازم است که روی نمونه‌ها پوشش اسپینلی منگنز-کبالت داده شود.

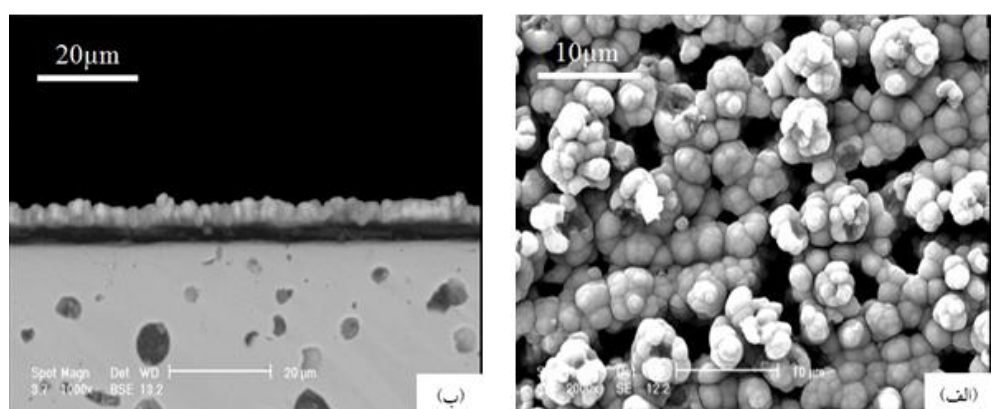
قبل از پوشش دهی، آماده سازی سطح صورت گرفت و پوشش دهی به مدت ۲۰ دقیقه در چگالی جریان‌های ۱۵۰ و ۲۰۰ و ۲۵۰ میلی آمپر بر سانتی متر مربع انجام گرفت. پس از آزمون طیف‌سنجی پراش الکترونی، مقدار عناصر کبالت و منگنز در هر سه چگالی جریان به دست آمد که در جدول ۵ نمایش داده شده است.

همان طور که گفته شد، به دلیل اینکه این پوشش‌ها دارای تخلخل زیادی بوده و ضخامت کمی دارند، پیک‌های زیر لایه و هم‌چنین اجزای محلول به دام افتاده در این حفره ظاهر شده‌اند. اما چون فقط درصد منگنز و کبالت در این آزمون مهم‌اند، لذا از دیگر عناصر چشم پوشی شد.

سطح پوشش‌ها و ضخامت آن‌ها به‌وسیله میکروسکوپ الکترونی روبشی مورد بررسی قرار گرفت. شکل ۶ تصاویری از سطح و سطح مقطع نمونه پوشش داده شده با چگالی جریان



شکل ۷- تصویر میکروسکوپی الکترونی رویشی از نمونه پوشش داده شده با چگالی جریان ۲۰۰ میلی آمپر بر سانتی متر مربع به مدت ۲۰ دقیقه: (الف) سطح پوشش و (ب) سطح مقطع پوشش

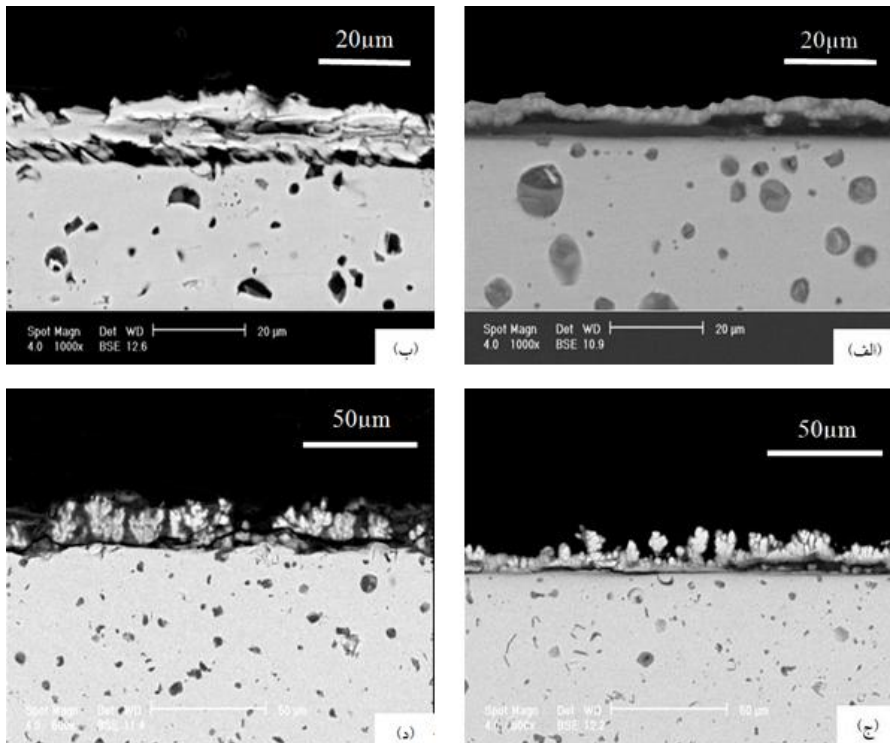


شکل ۸- تصویر میکروسکوپی الکترونی رویشی از نمونه پوشش داده شده با چگالی جریان ۲۵۰ میلی آمپر بر سانتی متر مربع به مدت ۲۰ دقیقه: (الف) سطح پوشش و (ب) سطح مقطع پوشش

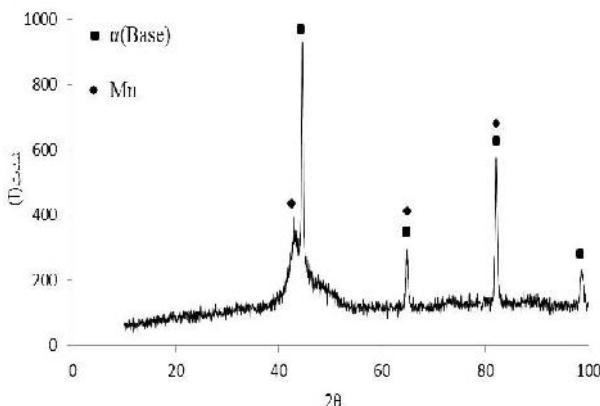
سانتی متر مربع است. لیکن با مشاهده مورفولوژی پوشش ها مشاهده شد که بهترین چگالی جریان برای پوشش دهی ۱۵۰ میلی آمپر بر سانتی متر مربع است چون پوشش حاصل دارای تخلخل و ترک کم تری است. به همین دلیل پوشش دهی در زمان های ۴۰، ۶۰ و ۸۰ دقیقه در چگالی جریان ۱۵۰ میلی آمپر بر سانتی متر مربع صورت گرفت (شکل ۹). ملاحظه می شود که با افزایش زمان پوشش دهی، ضخامت پوشش افزایش اما کیفیت پوشش کاهش یافته است. تصاویر گرفته شده از سطح مقطع نمونه های پوشش داده شده (شکل ۹) بیانگر این موضوع است. با رسیدن به حالت ایده اال پوشش دهی، ۵ عدد از دیسک های موجود با چگالی جریان ۱۵۰ میلی آمپر بر سانتی متر مربع و زمان ۴۰ دقیقه پوشش دهی شدند (ضخامت

بود. شکل ۸ تصاویری از سطح و سطح مقطع نمونه پوشش داده شده در چگالی جریان ۲۵۰ میلی آمپر بر سانتی متر مربع را نشان می دهد. این پوشش دارای تخلخل بیش تری نسبت به چگالی جریان های ۲۰۰ و ۱۵۰ میلی آمپر بر سانتی متر مربع است که آن را می توان به دلیل آزاد شدن هیدروژن با شدت بیش تری بر روی سطح نسبت به چگالی جریان های قبلی دانست. ضخامت پوشش به صورت میانگین حدود ۱۱ میکرومتر (شکل ۸-ب) است.

با توجه به نتایج طیف سنجی پراش الکترونی، چون در چگالی جریان ۲۰۰ میلی آمپر بر سانتی متر مربع، درصد منگنز و کالت تقریباً برابر بودند می توان نتیجه گرفت که بهترین چگالی جریان برای پوشش دهی، چگالی جریان ۲۰۰ میلی آمپر بر



شکل ۹- تصویر میکروسکوپی الکترونی روبشی از سطح مقطع نمونه پوشش داده شده به روش رسوب دهی الکتریکی در چگالی جریان ۱۵۰ میلی آمپر بر سانتی متر مربع: (الف) ۲۰ دقیقه، (ب) ۴۰ دقیقه، (ج) ۶۰ دقیقه و (د) ۸۰ دقیقه

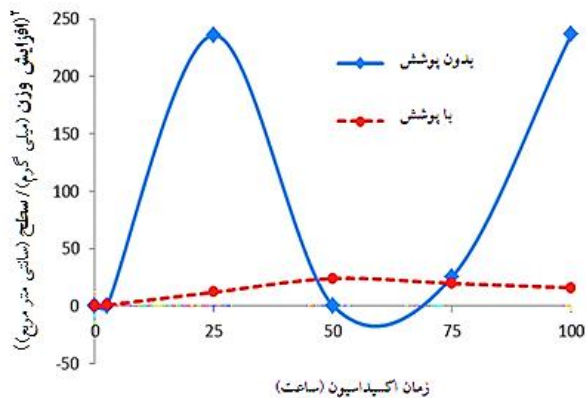


شکل ۱۰- الگوی پراش اشعه ایکس نمونه همراه با پوشش اسپینلی منگنز-کبالت رسوب داده شده با چگالی جریان ۱۵۰ میلی آمپر بر سانتی متر مربع به مدت ۴۰ دقیقه

پیک‌های زیر لایه نیز به وضوح قابل مشاهده است [۱۹]. این پوشش‌ها با وجود اینکه متخلخل و دارای ضخامت کمی‌اند اما مقاومت به اکسیداسیون و مقاومت الکتریکی سطحی را بهبود می‌بخشند، زیرا چسبندگی قابل توجهی با زیر لایه دارند و طی

پوشش ۱۰ تا ۱۵ میکرومتر بود) و همراه با ۵ عدد نمونه پوشش داده نشده در یک کوره عملیات حرارتی به مدت زمان‌های ۰، ۲۵، ۵۰، ۷۵ و ۱۰۰ ساعت تحت آزمون اکسیداسیون قرار گرفتند (یک نمونه پوشش دار و یک نمونه بدون پوشش برای زمان صفر ساعت در نظر گرفته شدند).

الگوی پراش اشعه ایکس از نمونه پوشش داده شده با چگالی جریان ۱۵۰ میلی آمپر بر سانتی متر مربع پس از مدت ۴۰ دقیقه به صورت شکل ۱۰ است. با توجه به الگوی پراش اشعه ایکس از نمونه پوشش داده شده می‌توان نتیجه گرفت که کبالت در منگنز حل شده، یک محلول جامد تشکیل داده است. در این الگو، از بین عناصر منگنز و کبالت، فقط پیک منگنز وجود دارد و دیگر پیک‌ها مربوط به زیر لایه است. با حل شدن کبالت در ساختار منگنز به دلیل اینکه فاز کبالت پراش اشعه ایکس نخواهد داشت، فقط پیک منگنز مشاهده می‌شود [۱۹]. چون این پوشش‌ها دارای تخلخل زیادی هستند و ضخامت کمی نیز دارند، به همین دلیل در الگوی پراش اشعه ایکس آن‌ها



شکل ۱۱- مربع تغییرات وزن بر سطح نسبت به زمان اکسیداسیون برای نمونه های پوشش دار و بدون پوشش

و در زمان های بعدی تا زمان ۱۰۰ ساعت این اسپینل ها به صورت کامل تری تشکیل می شود و سطح را می پوشاند و از کنده شدن پوسته اکسیدی از سطح آلیاژ جلوگیری می کنند. در نمودار شکل ۱۱ مشخص است که پس از زمان ۲۵ ساعت، نمودار به جای اینکه به سمت بالا حرکت کند، کاهش وزن را نشان می دهد. در ادامه این موضوع باید اشاره شود که فولادهای زنگ نزن فریتی در دماهای بالا (حدود ۷۰° درجه سانتی گراد) در معرض تبخیر اکسید کروم می گیرند به صورتی که اکسید کروم به صورت فاز گازی تبخیر می شود و این آلیاژ هم از این موضوع مستثنی نیست. باید خاطر نشان کرد که تبخیر اکسید کروم تا هنگامی رخ می دهد که اکسید اسپینلی منگنز- کروم تمام سطح را نپوشاند (در بین زمان ۲۵ تا ۵۰ ساعت) و اکسید کروم مستقیماً با محیط در ارتباط باشد. با توجه به نمودار شکل ۱۱ مشاهده می شود که در بین زمان ۲۵ تا ۵۰ ساعت، کاهش وزن وجود داشته است و پس از ۵۰ ساعت، نمودار به سمت بالا رفته است که علت آن را می توان پوشانیده شدن تمام سطح پوسته اکسیدی کروم به وسیله اکسید اسپینلی منگنز- کروم و جلوگیری از تبخیر آن پس از ۵۰ ساعت اکسیداسیون دانست. با افزایش بیشتر زمان اکسیداسیون، اسپینل ها به صورت فشرده تری سطح آلیاژ را می پوشانند و آلیاژ رفتار اکسیداسیون خوبی از خود نشان می دهد.

بعد از اکسیداسیون، الگوی پراش اشعه ایکس حاصل از

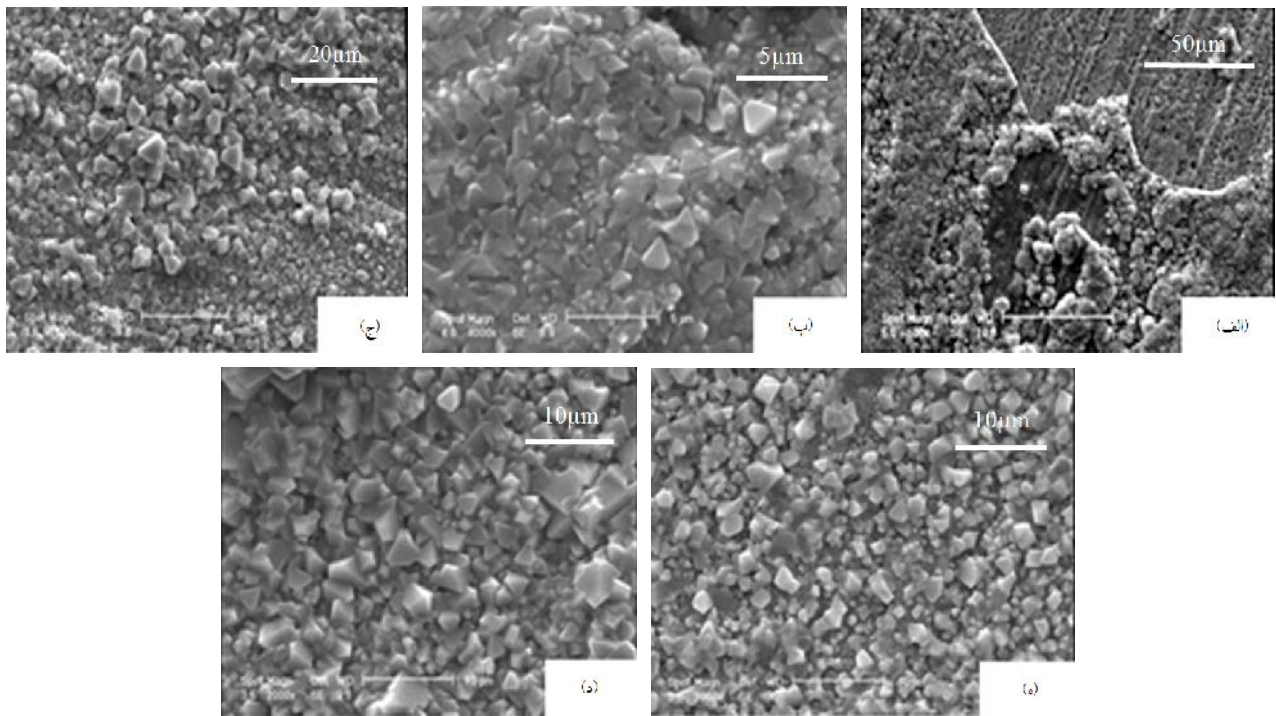
فرایند اکسیداسیون تخلخل های آنها کاهش می باید [۱۹].

#### ۴-۳- آزمون اکسیداسیون

۵ نمونه پوشش داده شده و ۵ نمونه بدون پوشش در کوره عملیات حرارتی با دمای ۸۰۰ درجه سانتی گراد با اتمسفر هوا در زمان های ۲۵، ۵۰، ۷۵ و ۱۰۰ ساعت تحت فرایند اکسیداسیون قرار گرفتند به صورتی که هر ۲۵ ساعت یک نمونه پوشش دار همراه با یک نمونه بدون پوشش از کوره خارج شد و تغییرات وزن قبل و بعد از اکسیداسیون اندازه گیری شد. با استفاده از این اطلاعات نمودار مربع تغییرات وزن بر واحد سطح بر حسب زمان رسم شد (شکل ۱۱). با توجه به شکل ۱۱ می توان نتیجه گرفت که رفتار اکسیداسیونی این آلیاژ، هم به صورت پوشش دار و هم به صورت بدون پوشش از هیچ قانون اکسیداسیونی پیروی نمی کند و رفتار آن سینوسی شکل است. با این تفاوت که آلیاژ پوشش دار مقاومت به اکسیداسیون بیشتری از خود نشان داده است. البته این را باید خاطر نشان کرد که رفتار اکسیداسیون این آلیاژ پس از زمان های طولانی تر از ۱۰۰ ساعت با توجه به رابطه ۲ به صورت سهمی درجه دو خواهد بود [۲۱].

$$\left( \frac{\Delta m}{A} \right)^2 = Kt \quad (2)$$

شکل ۱۲ اتفاقاتی که بر روی سطح آلیاژ بدون پوشش در طی اکسیداسیون رخ می دهد را نشان می دهد. در ساعت ابتدایی اکسیداسیون، اکسید کروم (کرومیا) روی سطح تشکیل می شود و اگر اکسیداسیون آن ادامه پیدا نکند و اکسید اسپینلی منگنز- کروم بر روی پوسته اکسیدی تشکیل نشود، پوسته اکسیدی از روی سطح کنده می شود (شکل ۱۲-الف). با ادامه اکسیداسیون (شکل ۱۲-ب)، اکسید اسپینلی منگنز- کروم روی کرومیا بانفوذ منگنز موجود در آلیاژ به سمت سطح و ترکیب آن با اکسیدهای پایه کروم شروع به تشکیل شدن می کند. به همین دلیل نمودار اکسیداسیون (شکل ۱۱) شبیه زیادی را در بین ساعت ۲/۵ تا ۲۵ ساعت متحمل و افزایش وزن به شدت زیاد می شود. در ادامه



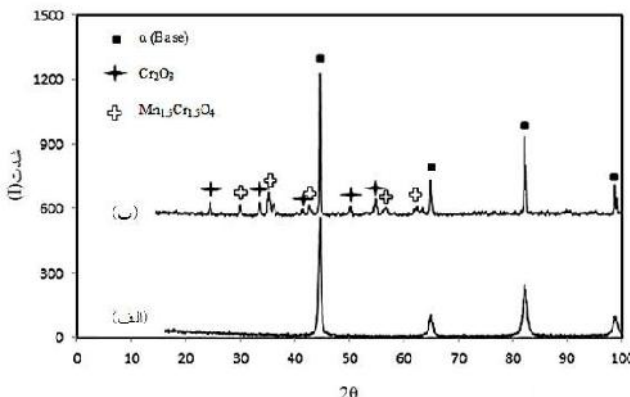
شکل ۱۲- تصاویر میکروسکوپی الکترونی روبشی از سطح نمونه های بدون پوشش بعد از اکسیداسیون در دمای ۸۰۰ درجه سانتی گراد به مدت (الف) ۵۰ ساعت، (ب) ۷۵ ساعت، (ج) ۱۰۰ ساعت و (د) ۲/۵ ساعت، (ه) ۲۵ ساعت

اکسیداسیون به دلیل تشکیل پوسته کرومیا و اکسید اسپینلی منگنز-کروم و آن هم به دلیل ضخیم تر شدن از افزایش وزن تبدیل پوشش به اکسید اسپینل بیشتر است. نزول نمودار و یا به عبارتی کاهش وزن آلیاژ پوشش دار پس از ۵۰ ساعت اکسیداسیون را در شکل ۱۱ می توان به تبیخ اکسید کروم به دلیل متخلخل بودن پوشش نسبت داد. شدت این اتفاق برای آلیاژ پوشش دار نسبت به آلیاژ بدون پوشش با توجه به شکل ۱۱ بسیار کم تر است. هنگامی این پوشش ها خواص حفاظتی کامل خود را نشان می دهند و نقش خود را ایفا می کنند که به صورت فازهای اکسید اسپینلی منگنز - کبالت و به صورت فشرده تمام سطح را پوشانند و این اتفاق با توجه به تصاویر میکروسکوپی الکترونی روبشی از سطح پوشش در زمان ۷۵ ساعت (شکل ۱۴-د) رخ داده است ولی با افزایش زمان اکسیداسیون و تا رسیدن به زمان ۱۰۰ ساعت، تغییرات وزن زیادی نسبت به زمان ۷۵ ساعت مشاهده نمی شود. در تصاویر میکروسکوپی الکترونی روبشی

سطح (شکل ۱۳)، تشکیل لایه کرومیا و اکسید اسپینلی منگنز-کروم بر روی سطح آلیاژ را اثبات می کند. به دلیل اینکه در آلیاژ کروفر، مقدار کروم حدود ۲۳ درصد وزنی است و نفوذ زیاد کروم از زیر لایه به سطح برای تشکیل اکسید کروم و اکسید اسپینلی منگنز-کروم وجود دارد، این امر از نفوذ آهن به سطح جلوگیری و از اکسید شدن آهن جلوگیری می کند.

نمودارهای اکسیداسیون (شکل ۱۱) نشان می دهند که رفتار اکسیداسیون نمونه های پوشش دار بهتر از نمونه های بدون پوشش است که این به دلیل وجود پوشش بر روی سطح آلیاژ است که از رشد پوسته اکسیدی بر روی زیر لایه سطح جلوگیری می کند و عمدتاً می توان افزایش وزن نمونه های پوشش دار را حاصل تبدیل پوشش منگنز-کبالت به اسپینل منگنز - کبالت دانست (شکل ۱۴).

افزایش وزن آلیاژ پوشش دار کم تر از آلیاژ بدون پوشش است چون افزایش وزن آلیاژ بدون پوشش در حین



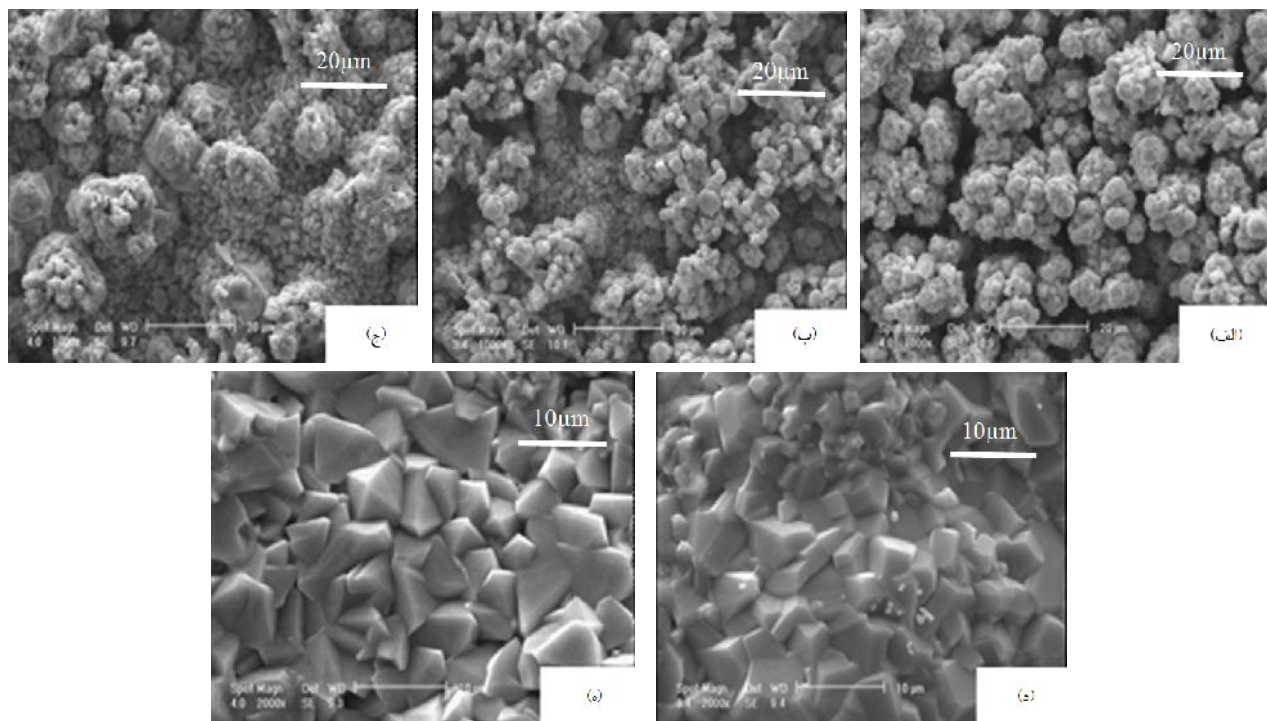
شکل ۱۳- الگوی پراش اشعه ایکس از نمونه بدون پوشش در دمای ۸۰۰ درجه سانتی گراد بعد از (الف) ۱۰۰ ساعت

می باشد. البته باید خاطر نشان کرد که چون پوشش دارای تخلخل است و اکسیژن به داخل آن نفوذ می کند، احتمال تشکیل کرومیا در زیر پوشش ایجاد شده (اسپینل منگنز-کالت) هنوز وجود دارد (شکل ۱۵). در ادامه این نکته قابل ذکر است که چون نمونه ها به صورت هم دما در کوره عملیات حرارتی قرار گرفتند و از دمای محیط به دمای ۸۰۰ درجه سانتی گراد رسیدند. با توجه به نمودار فازی شان،  $Mn_3O_4$  در بین دمای ۲۵ تا ۳۰۰ درجه سانتی گراد و  $CoMnO_3$  در بین دمای ۳۰۰ تا ۵۵۰ درجه سانتی گراد تشکیل می شود. مقاومت الکتریکی اکسید کروم بیشتر از زیر لایه فریتی است و مقاومت الکتریکی اسپینل منگنز-کروم کمتر از اکسید کروم است و اسپینل منگنز-کالت، مقاومت الکتریکی کمتری نسبت به همه آنها دارد [۲۲].

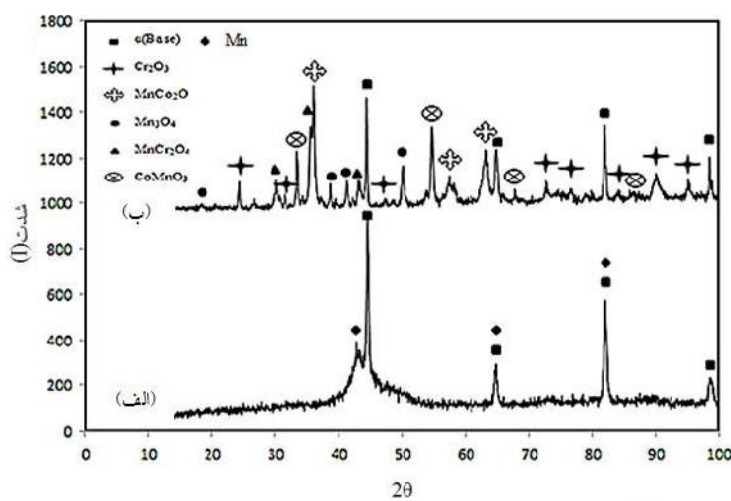
سطح مقطع آلیاژ کروفر بدون پوشش (شکل ۱۶-الف) و با پوشش (شکل ۱۶-ب) پس از ۱۰۰ ساعت اکسیداسیون در ۸۰۰ درجه سانتی گراد توسط میکروسکوپ الکترونی روبشی بررسی شد. ضخامت لایه اکسیدی که شامل کرومیا و لایه اسپینل منگنز-کروم است، حدود ۸ میکرومتر است. این در حالی است که این مقدار برای آلیاژ دارای پوشش حدود ۶ میکرومتر است که این مقادیر مقاومت بالاتر اکسیداسیون آلیاژ کروفر پوشش دار نسبت به آلیاژ بدون پوشش را نشان می دهد که به دلیل کاهش نفوذ کروم به سمت سطح و کاهش نفوذ اکسیژن از سمت محیط به سمت

پوشش ها (شکل ۱۴) مشاهده می شود که حتی در زمان های طولانی تر و دمای بالا، پوسته شدن در آنها اتفاق نیافتد. این موضوع به این علت است که پوشش های اکسید اسپینلی، پیوند خوبی با زیر لایه فریتی دارند و از ابتدا نیز یکی از علل انتخاب این پوشش، انطباق مناسب ضریب انبساط حرارتی آن با زیر لایه فریتی بود که این انطباق باعث می شود که پوشش از روی سطح زیر لایه کنده نشود. پس از ۲/۵ ساعت اکسیداسیون پوشش، هنوز اسپینل های منگنز-کالت تشکیل نشده اند (شکل ۱۴-الف) و با افزایش زمان اکسیداسیون، اسپینل ها شروع به تشکیل شدن کرده اند (شکل ۱۴-ب). با افزایش زمان اکسیداسیون از ۲۵ تا ۵۰ ساعت مقدار اسپینل ها بیشتر و همچنین اندازه آنها بزرگ تر می شود (شکل ۱۴-ج). در ادامه، پوشیده شدن تقریباً تمام سطح توسط اسپینل های منگنز-کالت را می توان در ۷۵ ساعت اکسیداسیون دانست (شکل - د) و به همین دلیل است که پس از ۷۵ ساعت اکسیداسیون، هیچ کاهش وزنی در نمودار شکل ۱۱ مشاهده نشده است. با ادامه زمان اکسیداسیون پس از ۱۰۰ ساعت اکسیداسیون، اسپینل های منگنز-کالت، تقریباً تمام سطح را پوشانیده اند (شکل ۱۴-ه).

به همین دلیل افزایش وزن نمونه های پوشش دار کمتر از نمونه های بدون پوشش که افزایش وزن آنها در حین اکسیداسیون به دلیل تشکیل پوسته کرومیا و اکسید اسپینلی منگنز-کروم ضخیم تری نسبت به نمونه های پوشش دار است،



شکل ۱۴- تصاویر میکروسکوپی الکترونی رویشی از تبدیل تدریجی ساختار کروی پوشش به ساختار اسپینلی پس از اکسیداسیون در دمای ۸۰۰ درجه سانتی گراد پس از زمانهای (الف) ۰، (ب) ۲۵، (ج) ۵۰، (د) ۷۵ و (e) ۱۰۰ ساعت

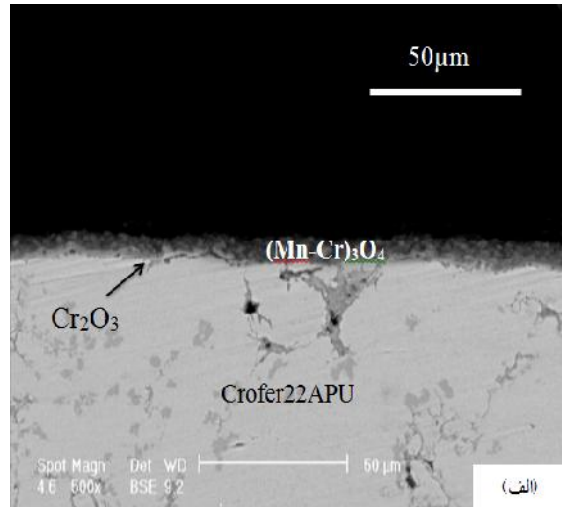


شکل ۱۵-۳. الگوی پراش اشعه ایکس از نمونه‌ی پوشش منگنز-کبالت داده شده و اکسید شده در اتمسفر هوا در دمای ۸۰۰ درجه سانتی گراد بعد از (الف) صفر و (ب) ۱۰۰ ساعت

(شکل ۱۷-ب) انجام شد. مشاهده می‌شود که بیشترین مقدار اکسیژن نزدیک به سطح آلیاز است و آن هم به دلیل اکسیداسیون سطح آلیاز است. در این آلیاز مشاهده می‌شود که نفوذ کروم به سطح بیشتر از آهن است و علت آن را می‌توان تخلیه کروم از

آلیاز در نمونه پوشش دار است. در ادامه برای نشان دادن نفوذ عناصری مثل آهن، کروم، منگنز، کبالت و اکسیژن، تحلیل خطی این عناصر بر روی سطح مقطع آلیاز بدون پوشش (شکل ۱۷-الف) و پوشش دار

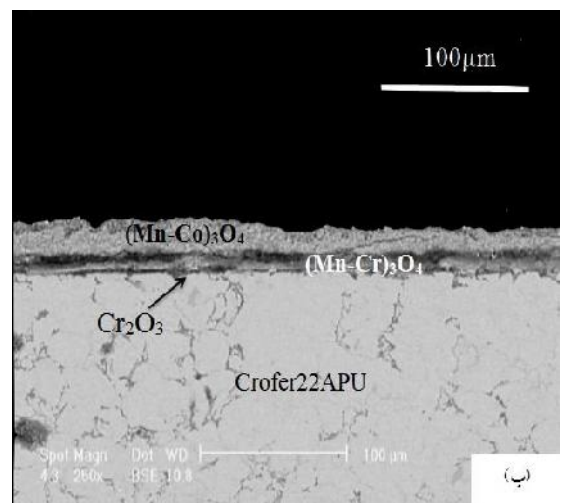
غلظت کبالت به دلیل نفوذ از پوشش به زیر لایه، مشاهده نمی‌شود اما وجود کبالت در پوشش اثبات می‌شود. تبخیر اکسید کروم در آلیاژ کروفر بدون پوشش باعث می‌شود که در شکل ۱۷-الف، تخلیه کروم مشاهده شود، به صورتی که با تبخیر اکسید کروم، تقاضای آلیاژ برای مصرف کروم و تبدیل به کرومیا تشدید می‌شود و کاهش غلظت کروم در آلیاژ، قبل از رسیدن به لایه اکسیدی وجود دارد. لیکن با حضور پوشش اسپینلی منگنز- کبالت، این قضیه مرتفع می‌شود و به همین خاطر تخلیه کروم به وقوع نمی‌پیوندد.



### ۳-۵- مقاومت الکتریکی سطحی

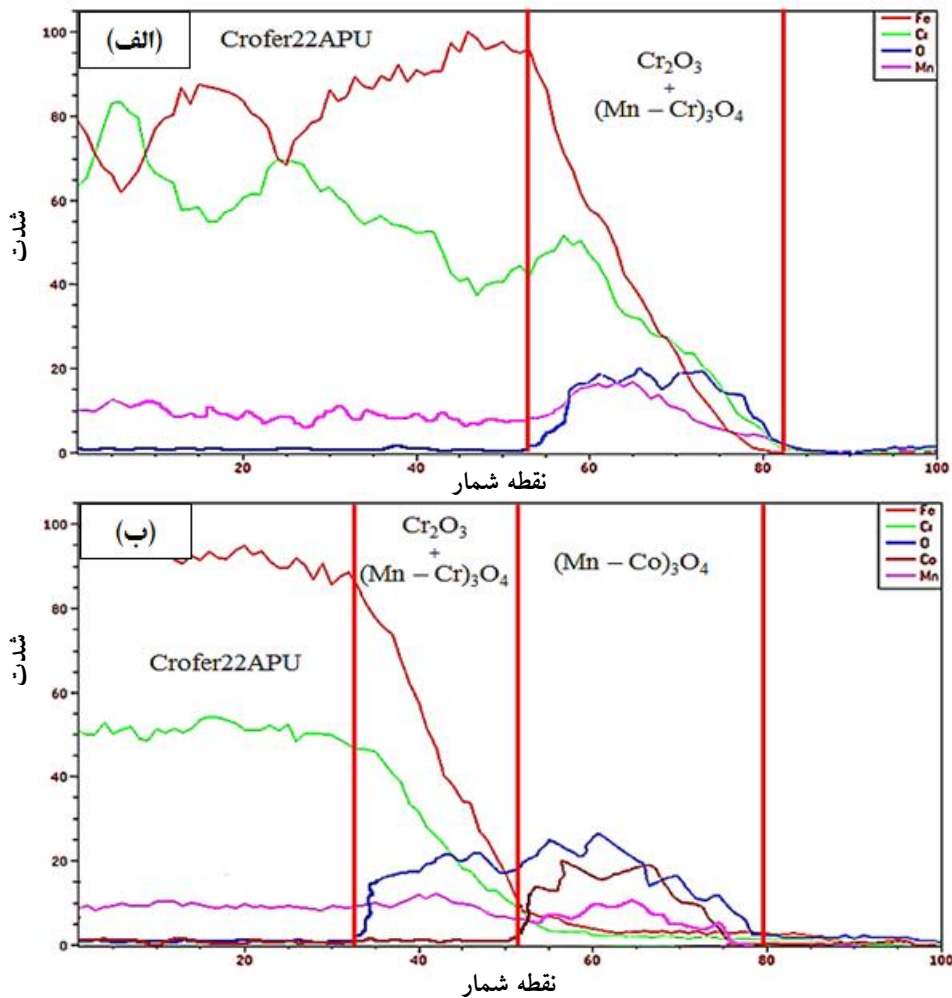
پس از پایان آزمون اکسیداسیون، مقاومت الکتریکی نمونه‌های اکسید شده اندازه گیری شد و مقاومت الکتریکی نمونه‌های پوشش‌دار و بدون پوشش با یکدیگر مقایسه شد (شکل ۱۸).  
با توجه به نمودار شکل ۱۸ و استناد به شکل ۱۲ مشاهده می‌شود که با افزایش زمان اکسیداسیون، مقاومت الکتریکی نمونه بدون پوشش افزایش افزایش یافته است و این به دلیل تشکیل لایه کرومیا بر سطح آن است که مقاومت الکتریکی آن بیشتر از سطح فلزی است. با افزایش زمان اکسیداسیون به تدریج اکسید اسپینلی منگنز- کروم بر روی لایه کرومیا تشکیل می‌شود. با شروع تشکیل این اکسید اسپینلی، به دلیل پایین‌تر بودن مقاومت الکتریکی آن [۲۲]، مقاومت الکتریکی سطح کاهش می‌یابد که با افزایش زمان اکسیداسیون و رسیدن به زمان ۱۰۰ ساعت، اکسید اسپینلی فشرده‌تر می‌شود و تمام سطح را می‌پوشاند و باعث کاهش مقاومت الکتریکی می‌شوند. برای مقاومت الکتریکی نمونه‌ها می‌توان بازه  $0/1 \text{ تا } ۰/۳$  میلی اهم- سانتی متر مربع را برای نمونه‌های بدون پوشش گزارش کرد.

شکل ۱۴ اتفاقاتی که بر روی سطح نمونه‌های پوشش‌دار طی اکسیداسیون رخ داده است را نشان می‌دهد. همان‌طوری که دیده شد، در ساعات اولیه اکسیداسیون، پوشش هنوز به ساختار اصلی خود که ساختاری اسپینلی است نرسیده است و لذا تخلخل‌هایی روی سطح آن مشاهده می‌شود که نتیجه آن بالا



شکل ۱۶- تصاویر میکروسکوپی الکترونی رویشی از سطح مقطع آلیاژ کروفر پس از ۱۰۰ ساعت اکسیداسیون در هوا در دمای ۸۰۰ درجه سانتی گراد: (الف) بدون پوشش و (ب) با پوشش اسپینلی منگنز- کبالت

سطح آلیاژ طبق پروفیل غلظتی کروم (شکل ۱۷-الف) دانست که به دلیل نفوذ بیشتر کروم برای تشکیل لایه اکسید اسپینلی منگنز- کروم و اکسید کروم است. البته نفوذ منگنز نیز از زیر لایه به سطح وجود دارد اما شبیه غلظتی آن از زیر لایه تا سطح، زیاد واضح نبوده که شکل ۱۷-الف این موضوع را اثبات می‌کند. برای آلیاژ کروفر با پوشش منگنز- کبالت (شکل ۱۷-ب)، برخلاف آلیاژ بدون پوشش، تخلیه کروم و غنی شدن آهن در سطح آلیاژ، مشاهده نمی‌شود. هم‌چنین، تغییر

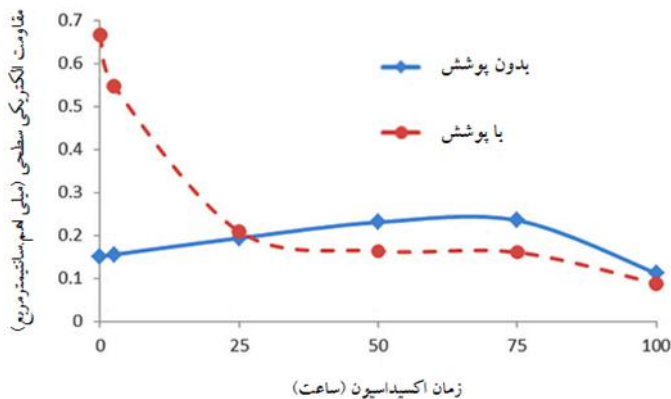


شکل ۱۷- تحلیل خطی از زیر لایه تا سطح آلیاژ کروفر پس از ۱۰۰ ساعت اکسیداسیون در هوا در دمای ۸۰۰ درجه سانتی گراد: (الف) بدون پوشش و (ب) با پوشش اسپینلی منگنز - کبالت

اکسیداسیون، اکسید اسپینلی متراکمی روی سطح شکل گرفته که می‌تواند فضاهای خالی را پر می‌کند و لذا مقاومت الکتریکی سطحی به کمترین مقدار خود (نسبت به زمان‌های قبلی) خواهد رسید.

در پایان باید خاطر نشان کرد که آلیاژ Crofer22APU تولید شده به روش آلیاژ سازی مکانیکی، در مقایسه با آلیاژ تجاری آن که به روش ریخته گری تولید می‌شود، پس از ۱۰۰ ساعت اکسیداسیون، حدوداً رفتار اکسیداسیون مشابه، اما مقاومت الکتریکی سطحی کمتری را از خود نشان می‌دهد. در مورد آلیاژ تجاری بدون پوشش مقاومت الکتریکی سطحی حدود ۱۱ میلی‌اهم سانتی‌متر مربع و برای آلیاژ همراه با پوشش منگنز-

بدون مقاومت الکتریکی سطحی است چون وجود تخلخل و در ادامه وجود هوا در آن باعث افزایش مقاومت الکتریکی سطحی می‌شود. با افزایش زمان به ۲۵ ساعت، اسپینل‌های منگنز-کبالت شروع به ایجاد شدن می‌کنند و چون این اسپینل‌ها مقاومت الکتریکی سطحی پایینی دارند، لذا مقاومت الکتریکی را نسبت به حالت قبل کاهش می‌دهند ولی به خاطر اینکه هنوز ساختار به طور کامل اسپینلی نشده است، مقاومت الکتریکی هنوز بیشتر از حد انتظار است. در ادامه با افزایش زمان اکسیداسیون به ۵۰ و ۷۵ ساعت، ساختار اسپینلی بیشتر رشد کرده و تخلخل سطح کمتر می‌شود که این امر کاهش بیشتر مقاومت الکتریکی سطحی را به دنبال خواهد داشت. پس از ۱۰۰ ساعت



شکل ۱۸- مقاومت الکتریکی سطحی (ASR) نمونه های پوشش دار و بدون پوشش پس از آزمون اکسیداسیون

۲- پوشش منگنز-کبالت بر روی آلیاژ Crofer22APU با استفاده از رسبودهی الکتریکی با اعمال چگالی جریان ۱۵۰ میلی آمپر بر سانتی متر مربع و زمان ۴۰ دقیقه به دلیل تخلخل کمتر و ضخامت بیشتر در حالت ایدهال خود قرار دارد.

۳- رفتار اکسیداسیونی آلیاژ کروفر در مدت زمان ۱۰۰ ساعت در ۸۰۰ درجه سانتی گراد با بازه های زمانی ۲۵ ساعت، هم به صورت پوشش دار و هم به صورت بدون پوشش از هیچ قانونی پیروی نمی کند.

۴- حضور پوشش اسپینلی منگنز- کبالت نه تنها منجر به افزایش مقاومت به اکسیداسیون آلیاژ می شود بلکه از تبخیر اکسید کروم تشکیل شده روی سطح آلیاژ در حین اکسیداسیون جلوگیری می کند که این امر منجر به جلوگیری از تخلیه کروم در سطح آلیاژ می شود.

۵- آلیاژ Crofer22APU تولید شده به روش آلیاژ سازی مکانیکی، در مقایسه با آلیاژ تجاری آن که به روش ریخته گری تولید می شود، پس از ۱۰۰ ساعت اکسیداسیون، تا حدودی رفتار اکسیداسیون مشابه دارد اما مقاومت الکتریکی سطحی کمتری را از خود نشان می دهد.

کبالت حدود ۵ میلی اهم سانتی متر مربع بوده است. برای نمونه های تولید شده به روش آلیاژ سازی مکانیکی این مقادیر کمتر از ۱ میلی اهم سانتی متر مربع است [۲۳]. این نکته حائز اهمیت است که مقاومت الکتریکی گزارش شده برای آلیاژ تجاری، مقاومت تماسی در دمای ۸۰۰ درجه سانتی گراد است اما در پژوهش حاضر، مقاومت الکتریکی سطحی در دمای ۲۵ درجه سانتی گراد اندازه گیری شده است. البته چنین رویه ای در کار سایر پژوهشگران [۲۴، ۲۵] نیز مشاهده شده است. در ادامه این موضوع باید به این نکته نیز اشاره کرد که لایه های اکسیدی، نیمه رسانا هستند و مقاومت الکتریکی آنها با افزایش دما کاهش می یابد به همین دلیل با افزایش دما، مقدار مقاومت الکتریکی سطحی کمتر از این مقدار خواهد بود.

#### ۴- نتیجه گیری

۱- به دلیل اینکه عناصر مختلف با فشار بخارهای متفاوتی در فولاد زنگ نزن فریتی Crofer22APU وجود دارد و ریخته گری این آلیاژ مشکل ساز است، یکی از روش های آسان برای تولید این فولاد در مقیاس محدود، آلیاژ سازی مکانیکی است.

#### واژه نامه ها

- 1. spark plasma sintering, SPS
- 2. area specific resistance, ASR
- 3. glove box
- 4. energy-dispersive X-ray spectroscopy
- 5. polyvinyl alcohol (PVA)
- 6. electrodeposition

## مراجع

1. Fergus, J.W., Xianguo, L., Hui, R., Wilkinson, D. and Zhnag, J., *Solid Oxide Fuel Cells- Materials Properties and Performance*, Taylor and Francis Group (CRC Press), USA, 2008.
2. طالبی، ط.، ریسی، ب. و مقصودی پور، ا.، "مرواری بر چالش‌های مواد مورد استفاده برای ساخت اجزاء پیل‌های سوختی اکسید جامد(SOFCs)"، اولین کنفرانس ملی هیاروژن و پیل سوختی، صص. ۱۰-۱، تهران، ۱۳۸۷.
3. Opila, E.J., "Theoretical and Experimental Investigation of the Thermochemistry of CrO<sub>2</sub>(OH)<sub>2</sub>(g)", *The Journal of Physical Chemistry A*, Vol. 111, pp. 1971–1980, 2007.
4. Ebbinghaus, B.B., "Thermodynamics of Gas Phase Chromium Species: The Chromium Oxides, the Chromium Oxyhydroxides, and Volatility Calculations in Waste Incineration Processes", *Combustion Flame*, Vol. 93, pp. 119–137, 1993.
5. Lee, C. and Bae, J., "Oxidation-Resistant Thin Film Coating on Ferritic Stainless Steel by Sputtering for Solid Oxide Fuel Cells", *Thin Solid Films*, Vol. 516, pp. 6432-6437, 2008.
6. Zhu, W.Z. and Deevi, S.C., "Opportunity of Metallic Interconnects for Solid Oxide Fuel Cells: a Status on Contact Resistance", *Materials Research Bulletin*, Vol. 38, pp. 957-972, 2003.
7. Zhu, W.Z. and Deevi, S.C., "Development of Interconnect Materials for Solid Oxide Fuel Cells", *Materials Science and Engineering: A*, Vol. 348, pp. 227-243, 2003.
8. Horita, T., Xiong, Y., Kishimoto, H., Yamaji, K., Sakai, N. and Yokokawa, H., "Application of Fe–Cr Alloys to Solid Oxide Fuel Cells for Cost Reduction Oxidation behavior of Alloys in Methane Fuel", *Journal Power Sources*, Vol. 131, pp. 293-298, 2004.
9. Magdefrau, N.J., "Evaluation of Solid Oxide Fuel Cell Interconnect Coatings: Reaction Layer Microstructure, Chemistry and Formation Mechanisms", University of Connecticut, Graduate School, 2013.
10. Kessel, H.U., Hennicke, J., Kirchner, R. and Kessel, T., "Rapid Sintering of Novel Materials by FAST/SPS Further Development to the Point of an Industrial Production Process with High Cost Efficiency", *FCT Systeme GmbH*, Germany, 2010.
11. Chen, X., Hou, P.Y., Jacobson, C.P., Visko, S.J. and Jonghe, L.C.De., "Protective Coating on Stainless Steel Interconnect for SOFCs: Oxidation Kinetics and Electrical Properties", *Solid State Ionics*. Vol. 176, pp. 425–433, 2005.
12. Yang, Z., Xia, G. and Stevenson, J.W., "Mn<sub>1.5</sub>Co<sub>1.5</sub>O<sub>4</sub> Spinel Protection Layers on Ferritic Stainless Steels for SOFC Interconnect Applications", *Electrochemical and Solid State Letters*, Vol. 8, pp. 168–170, 2005.
13. Wei, W., Chen, W. and Ivey, D.G., "Anodic Electrodeposition of Nanocrystalline Coatings in the Mn-Co-O System", *Chemistry of Materials*, Vol. 19, pp. 2816–2822, 2007.
14. Bateni, M.R., Deng, P.X. and Petric, A., "Spinel Coatings for UNS 430 Stainless Steel Interconnects", *Surface & Coating Technology*, Vol. 201, pp. 4677–4684, 2007.
15. Chou, Y.S., Stevenson, J.W. and Singh, P., "Effect of Aluminizing of Cr-Containing Ferritic Alloys on the Seal Strength of a Novel High-Temperature Solid Oxide Fuel Cell Sealing Glass", *Journal of Power Sources*, Vol. 185, pp. 1001-1008, 2008.
16. Balland, A., Gannon, P., Deibert, M., Chevalier, S., Caboche, G. and Fontana, S., "Investigation of La<sub>2</sub>O<sub>3</sub> and/or and (Co,Mn)<sub>3</sub>O<sub>4</sub> Deposits on Crofer22APU for the SOFC Interconnect Application", *Surface & Coatings Technology*, Vol. 203, pp. 3291-3296, 2009.
17. Fontana, S., Chevalier, S. and Caboche, G., "Metallic Interconnects for Solid Oxide Fuel Cell: Effect of Water Vapour on Oxidation Resistance of Differently Coated Alloys", *Journal of Power Sources*, Vol. 193, pp. 136-145, 2009.
18. Yang, Z., Xia, G.G., Stevenson, J.W., Singh, P., Li, X., Maupin, G.D., Coleman, J.E., Nie, Z., Bonnett, J.F., Simner, S.P. and Singh, P., "Advanced SOFC Interconnect Development at PNNL", *The Electrochemical Society*, Vol. 5, pp. 347-356, 2007.
19. Wu, J., Jiang, Y., Johnson, C. and Liu, X., "DC Electrodeposition of Mn–Co Alloys on Stainless Steels for SOFC Interconnect Application", *Journal of Power Sources*, Vol. 177, pp. 376–385, 2008.
20. Cullity, B.D., *Elements of X-Ray Diffraction*, Addison-Wesley Publishing Company, Massachusetts, 1956.
21. Ziomek-Moroz, M., Holcomb, G.R., Covino, B.S.J., Bullard, S.J., Jablonski, P.D. and Alman, D.E., "Corrosion Performance of Ferritic Steel for SOFC Interconnect Applications", in *Advances in Solid Oxide Fuel Cells II*, Vol. 27, pp.1-9, 2006.
22. Petric, A. and Ling, H., "Electrical Conductivity and Thermal Expansion of Spinels at Elevated Temperatures", *Journal of the American Ceramic Society*, Vol. 90, pp.1515–1520, 2007.
23. Gorokhovsky, V.I., Gannon, P.E., Deibert, M.C., Smith, R.J., Kayani, A., Kopczyk, M., Van Vorous, D., Yang, Z., Stevenson, J.W., Visco, S., Jacobson, C., Kurokawa, H. and Sofie, S.W., "Deposition and Evaluation of Protective PVD Coatings onFerritic Stainless Steel SOFC Interconnects", *Journal of The*

- Electrochemical Society*, Vol. 153, pp. 1886–1893, 2006.
24. Molin, S., Kusz, B., Gazda, M. and Jasinski, P., “Protective Coatings for Stainless Steel for SOFC Applications”, *Journal of Solid state Electrochemistry*, Vol. 13, pp. 1695-1700, 2008.
25. Ebrahimifar, H. and Zandrahimi, M., “Oxidation and Electrical Behavior of AISI 430 Coated with Cobalt Spinels for SOFC Interconnect Applications”, *Surface and Coatings Technology*, Vol. 206, pp. 75-81, 2011.